

## مقاله کوتاه

# طراحی و تولید یک سیستم نرم افزار شبیه ساز آزمایشگاه راکتور هسته‌ای

سیدعلی میرعشقی\* و ژیلا جمشیدی\*\*

بخش مهندسی هسته‌ای، دانشگاه صنعتی شریف

(دریافت مقاله: ۱۰/۲۳/۷۷ - دریافت نسخه نهایی: ۱۰/۲۲/۷۸)

چکیده - در مقاله حاضر، ساختار اساسی یک سیستم نرم افزاری برای شبیه سازی محیط آزمایشگاه راکتور، با استفاده از یکی از متداول‌ترین مهندسی نرم افزار تحت عنوان OMT، با استفاده از معادله‌های نقطه‌ای حاکم بر راکتور، ارائه شده است. همچنین توانمندی‌های مختلف شبیه ساز در آموزش مفاهیم پایه فیزیک راکتور مورد بحث قرار گرفته است.

در این آزمایشگاه مجازی، قابلیت انجام هفت آزمایش راکتور تحت عنوانهای: راه اندازی و کنترل راکتور، اندازه‌گیری جرم بحرانی راکتور، اندازه‌گیری قدرت گرمایی راکتور، اندازه‌گیری ارزش راکتیویته میله‌های کنترل، اثر سوموم در قلب راکتور، اثر خلاء در قلب راکتور و سقوط میله کنترل ظرف وجود دارد. امکانات کاربری آسان و راهنمایی‌های موجود در سیستم، محیطی کاملاً مناسب را برای انجام آزمایشها برای کاربر فراهم می‌سازند. همچنین ارائه نتایج و اطلاعات گرافیکی و متنی مربوط به هر آزمایش در طول انجام آزمایش و پس از آن، به منظور دستیابی به جزئیات بیشتر در مورد آزمایشها، از دیگر امکاناتی است که نرم افزار در اختیار کاربر قرار می‌دهد و مجموعه نرم افزار را به صورت یک شبیه ساز آموزشی توانمند و با کاربری آسان مطرح می‌کند.

## Design and Implementation of a Reactor Physics Laboratory Simulation Software

A. Mireshghi and J. Jamshidi

Department of Nuclear Engineering, Sharif University of Technology

**ABSTRACT-** The basic structure of a reactor physics laboratory environment simulation software, developed using object modeling technique (OMT), and based on the reactor point kinetic equation, is presented. Also, various capabilities of the simulator in teaching the fundamental concepts of reactor physics are discussed.

In this virtual laboratory, student can perform seven different experiments, namely, reactor start up and control, critical mass measurement, critical thermal power measurement, control rod reactivity worth measurement, fuel poisons effects, reactor core void effects, and fine control rod drop. The user-friendly software and the technical instructions embedded provide a convenient environment for performing the experiments. The result presentation, in text and graphical format, both during and after the experiments, is another facility making the software powerful and an easy-to-use educational software.

\* - استاد      \*\* - دانشجوی کارشناسی ارشد

## ۱- مقدمه

نرم افزار را بیان می کنیم. در آخر نیز با مرور نتایج حاصل از آزمایشها صحبت و اعتبار مدلها و کدهای به کار گرفته شده در نرم افزار را بررسی می کنیم.

### ۲- مبانی نظری

آنچه به عنوان مبانی نظری در نرم افزار مورد استفاده قرار گرفته در حقیقت مفاهیم پایه و فرمولیندیهای مربوط به مدل سیستمیک نقطه‌ای راکتور و اثرات پس خوراندهای درجه گرما و سموم راکتور است که در بسیاری از کتب و مراجع [۵-۳] به تفصیل مورد بحث قرار گرفته است. در این مقاله تنها به نگاهی گذرا به فرمولهای موردنظر بسته شده است.

معادله‌های نقطه‌ای راکتور با فرض ناوایسته بودن ضرایب به مکان و متوسط گیری آنها بر روی توزیع سرعت نوترون و با حذف وابستگی مکانی توزیع نوترونها به صورت زیر بیان می‌شوند،

$$\frac{dn(t)}{dt} = \frac{\rho - \beta}{1} n(t) + \sum_i \lambda_i C_i(t) + q(t) \quad (1)$$

$$\frac{dC_i(t)}{dt} = \frac{\beta_i}{1} n(t) - \lambda_i C_i(t) \quad (2)$$

که در آن  $n(t)$  و  $C_i(t)$  به ترتیب چگالی نوترونها و غلظت نیا هسته‌ها هستند.  $\rho$  راکتیویته قلب و  $\beta$  و  $\lambda$  به ترتیب درصد تولید نوترونها تأخیری و ثابت واپاشی نیا هسته مربوط به گروه آم، ۱ زمان تولید نوترون و  $q$  شدت تابش چشمهداند.

برای کامل کردن مدل، به در نظر گرفتن اثرات مربوط به پس خوراند در قلب راکتور ضروری است. دو اثر پس خوراندی غالب در قلب راکتور عبارت اند از دما و تولید سموم در قلب که لازم است آنها را نیز مدلسازی کنیم.

#### ۱-۲- پس خوراند دما

اگر ضریب پس خوراند راکتیویته متوسط قلب،  $a_T$  باشد، مقدار راکتیویته حاصل از تغییرات دما عبارت خواهد بود از

$$\delta_p = -\alpha_T (T - T_0) \quad (3)$$

که در آن  $T_0$  دمایی است که در آن دما پس خوراند ناشی از دمای صفر است [۳].

یکی از انواع راکتورهای هسته‌ای، راکتورهای تحقیقاتی می‌باشند که انواع آنها امروزه در کشورهای مختلف جهان برای انجام پژوهش‌های بنیادی و یا کاربردی و نیز به عنوان یک وسیله آموزش فیزیک راکتور و فیزیک نوترون مورد استفاده قرار می‌گیرند. محصول عمده این راکتورها، پرتوهای نوترون سریع و گرمایی اند. این نوترونها یا برای پرتودهی مواد مختلف در قلب راکتور مورد استفاده قرار می‌گیرند، و یا از طریق مجرای پرتودهی به خارج از راکتور جریان می‌یابند. راکتورهای تحقیقاتی اغلب علاوه بر انجام مأموریت پژوهشی، به منظور آموزش نیز مورد استفاده قرار می‌گیرند [۱]. از آنجاکه ساخت و بهره‌برداری از چنین راکتورهایی مستلزم صرف امکانات و هزینه‌های بالایی است، امکان دسترسی دانشجویان همه دانشگاهها به این گونه راکتورها و انجام آزمایشها در محیط واقعی راکتور وجود ندارد، و بنابراین استفاده از یک شبیه‌ساز رایانه‌ای به صورت یک نرم افزار آموزشی، نه تنها منطقی، بلکه کاملاً ضروری است. چنین نرم افزاری با ایجاد یک محیط آزمایشگاهی شبیه سازی شده راکتور، امکانات لازم برای انجام آزمایشها مختلف بر روی راکتور توسط کاربر را فراهم می‌سازد. به صورتی که با دخالت موثر کاربر در محیط برای تغییر پارامترهای مختلف قلب راکتور و اعمال کنترلهای لازم بر روی آن و همچنین استفاده از راهنماییهای موجود در محیط و سیس انعکاس نتایج و اطلاعات به صورت گرافیکی و متنی، به منظور دستیابی به جزئیات بیشتر در مورد هر آزمایش، زمینه مناسب برای انجام آزمایشها فراهم می‌شود. شبیه سازیهایی که پیشتر در این زمینه انجام شده‌اند، جنبه‌های آموزشی کمتری داشته‌اند و از داشتن قابلیتهای کاربری آسان بی‌نصیب بوده‌اند. البته شبیه سازیهایی به منظور آموزش اپراتوری با در نظر گرفتن نکات مربوط به مسائل نوترونیک و ترموهیدرولیک راکتور با استفاده از کدهای محاسباتی قلب راکتور نیز انجام گرفته‌اند که آنها نیز از داشتن امکانات کاربری آسان برای دانشجویان و مبتدیان محروم‌اند. [۲]

در این مقاله در مورد چگونگی تحلیل، طراحی و پیاده‌سازی یک نرم افزار آموزشی که با استفاده از معادله‌های حاکم بر مدل نقطه‌ای راکتور و یکی از متداول‌زیبهای توسعه نرم افزار تحت عنوان OMT انجام گرفته است، به بحث می‌پردازیم و امکانات موجود در

مصنوعی از رفتار سیستم در طول زمان ایجاد می‌شود و سپس با مشاهده این سرگذشت، صحت و اعتبار مدلها بررسی می‌شوند. این مدلها عموماً شکل مجموعه‌ای از فرضهای مربوط به عملکرد سیستم را به خود می‌گیرند که این فرضها در قالب روابط ریاضی، منطقی و نمادین بین نهادها یا اهداف مورد نظر سیستم تبیین می‌شوند [۷]. به منظور پیاده سازی مدلها ارائه شده بر روی رایانه، ایجاد، تکمیل و توسعه نرم‌افزار باید براساس یک متداول‌تری تهیه نرم‌افزار پایه گذاری شود.

متداول‌تری مهندسی نرم‌افزار، تولید نرم‌افزار به شکل ساختار یافته، با استفاده از مجموعه‌ای از روشها و علائم خاص است. فرایند تولید نرم‌افزار عموماً به صورت یک چرخه عمر که شامل چند مرحله است، سازماندهی می‌شود. [۸ و ۹].

یک چرخه عمر کامل، شامل فرموله کردن اولیه مسئله، تحلیل، طراحی و، پیاده سازی و آزمون نرم‌افزار و همچنین فازهای عملکرد مانند نگهداری و توسعه است [۹]. یکی از متداول‌ترین مطرح در مهندسی نرم‌افزار OMT<sup>۱</sup> است که یک متداول‌تری شئی گراست و تمام مراحل چرخه عمر را شامل می‌شود [۱۰].

متداول‌ترین شئی گرا فرض خاصی را در مورد ساختمن نرم‌افزار قبول دارند که تحت عنوان "مدل شئی" خوانده می‌شود و همان طور که از نام آن پیداست، این مدل، بهترین راه برای فهمیدن یک برنامه اجرایی را، متصور شدن آن به صورت تجمعی از اشیاء پیشنهاد می‌کند. هر شئی فقط قسمت کوچکی از کار سیستم را اجرا می‌کند و رفتار کلی سیستم با تعامل بین اشیاء مختلف، تأمین می‌شود. [۱۱-۱۴]

هر شئی دارای تعدادی صفت است که ساختمن داده سیستم را تشکیل می‌دهد و نیز دارای تعدادی تابع یا عملگر است که برای دسترسی و تجدید صفات شئی و ایجاد ارتباط شئی با دنیای خارج از آن مورد استفاده قرار می‌گیرند. ارتباط بین اشیا که توسط راهکار پیغام‌دهی انجام می‌شود، عملکرد کلی سیستم را امکان‌پذیر می‌سازد [۱۵ و ۱۶].

متداول‌تری OMT شامل سه مرحله اساسی است که عبارت‌اند از تحلیل، طراحی و پیاده‌سازی سیستم که برای ساختمن هر سیستم باید به دقت انجام شوند [۱۰]. به دنبال به توضیح مختصری در مورد چگونگی دنبال کردن این مراحل در مورد سیستم شبیه سازی

تغییرات دما در راکتور با قدرت (t)<sup>p</sup>، با نوشتن تعادل ترمودینامیکی در راکتور به صورت زیر بیان می‌شود

$$\frac{dT(t)}{dt} = \frac{1}{mc} p(t) - \frac{2W}{m} T(t) \quad (4)$$

که W و C و m به ترتیب دبی جرمی، ظرفیت گرمای ویژه و جرم خنک کننده موجود در قلب‌اند [۱].

## ۲-۲- پس خواراند تولید سوم

زینان یکی از سوم تولید شده در قلب است که عمدۀ اثرات پس خواراند نیز ناشی از آن است. زینان ( $X_e^{135}$ ) به طور مستقیم از شکافت  $^{235}U$  و یا از واپاشی  $^{135}I$  تولید می‌شود و کاهش آن نیز با جذب نوترون و یا واپاشی بتا صورت می‌گیرد. بنابراین معادله‌های حاکم بر غلظت یدوزینان را به صورت زیر می‌توان نوشت [۳] و [۶]:

$$\frac{dI}{dt} = \gamma_I \sum_f \phi - \lambda_I I \quad (5)$$

$$\frac{dX}{dt} = \gamma_X \sum_f \phi + \lambda_I I - \sigma_a^X X \phi - \lambda_X X \quad (6)$$

I= چگالی اتمی ید

X= چگالی اتمی زینان

$\gamma_X$ = درصد تولید زینان

$\gamma_I$ = درصد تولید ید

$\sigma_a^X$ = سطح مقطع جذب نوترون زینان

φ= شار نوترون

$\sum_f$ = سطح مقطع ماکروسکوپیک شکافت

به طور عمدۀ، اثر زینان بر تغییر راکتیویته از جهت کاهش فاکتور f (بهره‌گیری گرمایی) است که به صورت زیر بیان می‌شود:

$$\delta\rho = -\frac{\sigma_a^X X}{\sum_a^{\text{core}}} \quad (7)$$

که در آن  $\sum_a^{\text{core}}$  سطح مقطع ماکروسکوپیک جذب نوترون در قلب است.

## ۳- شبیه سازی و متداول‌تری تهیه نرم‌افزار

شبیه سازی، تقليیدی از عملکرد یک فرایند یا سیستم واقعی در طی زمان است. در شبیه سازی با ایجاد مدل‌هایی، سرگذشتی

شده آزمایشگاه راکتور می‌پردازیم.

به عنوان نمونه برای ستاریو اندازه‌گیری قدرت گرمایی راکتور و کنترل دستی راکتور، سلسله رویدادها به صورت شکل‌های (۲) و (۳) هستند. نمودار حالت تهیه شده برای کلاس صفحه کنترل در شکل (۴) نشان داده شده است. این نمودار نشان‌دهنده همه رویدادهایی است که به صفحه کنترل فرستاده شده‌اند و یا از صفحه کنترل برای دیگر اشیا ارسال شده‌اند. در واقع هر ستاریو یا سلسله رویدادهای مربوط به آن یک مسیر را در نمودار حالت طی می‌کند. در مدل وظیفه‌مندی توابعی که چگونگی محاسبه مقادیر خروجی از ورودی را نشان می‌دهند، بدون در نظر گرفتن ساختمان اشیا و ترتیب رویدادها، معرفی می‌شوند [۱۵]. این توابع در پیوست (۱) ارائه شده‌اند.

### ۳-۲-۳- مرحله طراحی

پس از ارائه سیستم دنیای واقعی توسط مدل‌های مرحله تحلیل، نوبت به طراحی می‌رسد. طراحی شامل دو قسمت یکی طراحی سیستم و دیگری طراحی شئ است. در طراحی سیستم، ساختار سطح بالای سیستم مشخص می‌شود [۱۹ و ۲۰]. سیستم آزمایشگاه راکتور دارای زیر سیستمی نیست و تنها توسط یک پردازنده قابل اجرا خواهد بود. بنابراین توجه خود را بر روی طراحی شئ معطوف می‌کنیم. در این مرحله، هدف تبدیل حالت‌های <sup>۱۱</sup> موجود در مدل پویا و توابع موجود در مدل وظیفه‌مندی به عملگرهای کلاسهاست [۱۸]. این عملگرها برای کلاسهای سیستم به صورت زیر تشخیص داده شد. کار اصلی عملگرها تجدید صفات اشیا و ایجاد ارتباط بین اشیاست. برای هر عملگر، با توجه به مدل‌های پویا و وظیفه‌مندی، یک الگوریتم پیاده‌سازی مقرر خواهد شد. پس از تهیه الگوریتمها باید ساختمان داده به شکلی مناسب برای ذخیره داده‌های سیستم در نظر گرفته شود و این کار با اضافه کردن کلاسهای داخلی به کلاسهای اصلی شکل می‌گیرد [۱۸]. فهرست عملگرهای کلاسهای مختلف سیستم راکتور در جدول پیوست (۲) ارائه شده است.

### ۳-۳- مرحله پیاده‌سازی

در این مرحله ابتدا نمودارهای حالت تهیه شده در مدل پویا را با استفاده از الگوریتمهای مرحله طراحی برای پیاده‌سازی

### ۱-۳- مرحله تحلیل

تحلیل که شامل فهمیدن و مدل کردن مسئله و مشخص کردن دامنه فعالیت آن است، از فازهای بسیار مهم تهیه نرم‌افزار است. ورودی اولیه به فاز تحلیل، "بیان مسئله" است و خروجی آن مدل فرموله شده بیان مسئله است که شامل سه قسمت اساسی است. مدل شئ <sup>۲</sup>، مدل پویا <sup>۳</sup> و مدل وظیفه‌مندی <sup>۴</sup> [۶ و ۱۷].

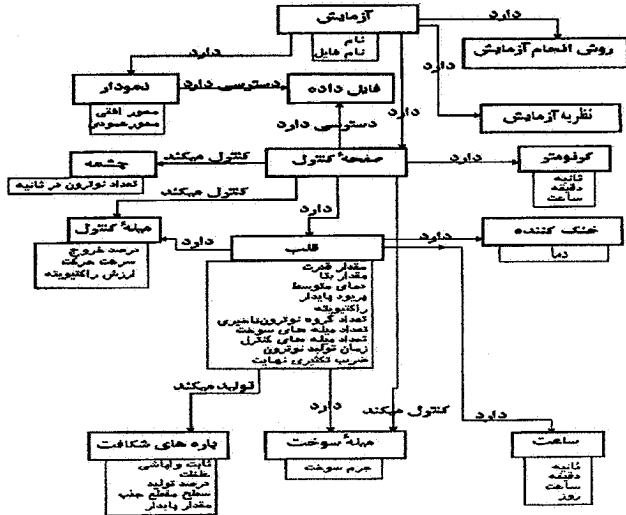
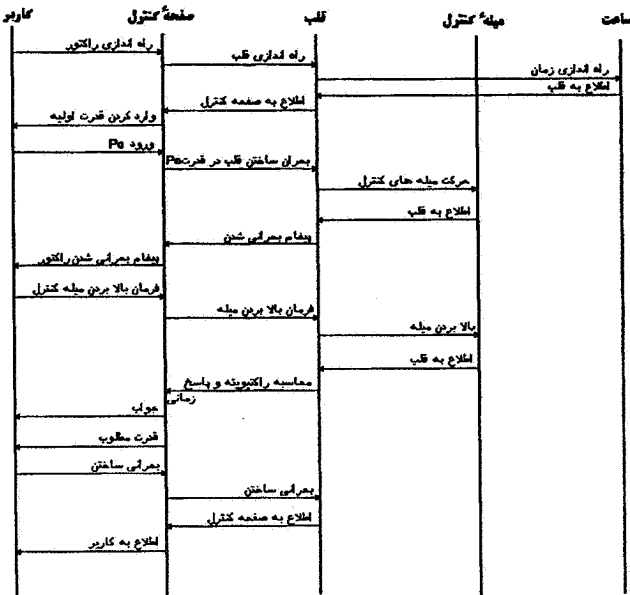
مدل شئ، اشیا و روابط آنها را با یکدیگر نشان می‌دهد. از آنجا که مدل شئ نشان‌دهنده ساختمان استاتیک داده‌های موجود در سیستم است، بنابراین باید اشیاء را در قالب کلاسها <sup>۵</sup> و وابستگی <sup>۶</sup> آنها در دنیای واقعی تشخیص داده و سپس صفات <sup>۷</sup> و ارتباطها <sup>۸</sup> به آنها اضافه شوند [۱۰ و ۱۸].

با بررسی سیستم آزمایشگاه دنیای واقعی، و ملاحظات آن در سیستم شبیه سازی، کلاسهای زیر برای نرم‌افزار مشخص شوند:

- قلب راکتور
- میله‌های سوتخت
- آزمایشگاه شبیه سازی
- عناصر موجود در قلب
- خنک کننده
- صفحه کنترل
- ساعت شبیه سازی
- زمان سنج

ارتباط بین کلاسها بر اساس وابستگی اشیا در دنیای واقعی تعیین می‌شود. وجود ارتباطهای منطقی و تصمیم‌گیری در مورد نحوه ارتباط کلاسها برای ایجاد یک مدل تحلیلی خوب که در مرحله طراحی به راحتی به کار گرفته شود، بسیار مهم است [۱۰]. کلاسها به همراه ارتباطات آنها، در نهایت به صورت نمودار شئ <sup>۹</sup> تهیه شدند [۱۹]، شکل (۱).

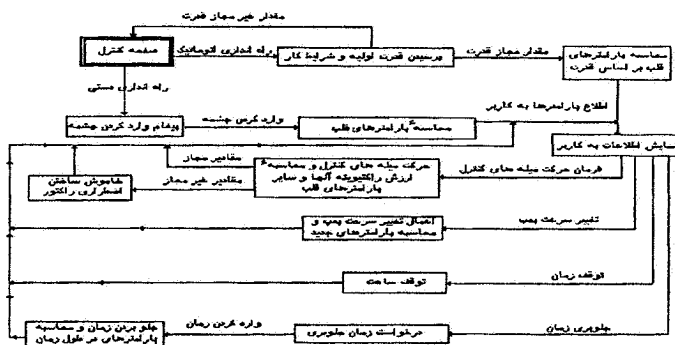
مدل پویا نشان‌دهنده رفتارهای وابسته به زمان یک سیستم و اشیا آن است. این مدل با توجه به رویدادهای بین اشیا تهیه می‌شود [۱۰]. برای ساختن این مدل، ابتدا برای گفتگوهای نوعی کاربر با سیستم، ستاریوهايی تهیه می‌شوند. سپس رویدادها در ستاریوها تشخیص داده می‌شوند و هر ستاریو به صورت سلسله‌ای از رویدادها نشان داده می‌شود. در آخر رویدادها و حالت‌های مربوط به هر شئ در نمودار حالت <sup>۱۰</sup> جای داده می‌شوند. مجموعه‌ای از نمودارهای حالت، مدل پویا را تشکیل می‌دهند [۱۸].



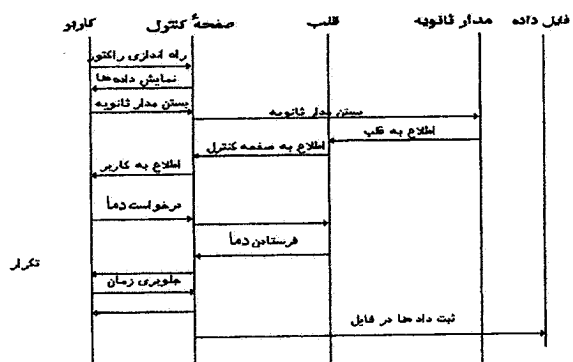
شکل ۱ - نمودار مدل شیء به همراه صفات مربوطه

نهایت کردن مسیر را بدادهای برای آزمایش کالیبر اسپیوون حداقتی

### شکل ۳- دنبال کردن مسیر رویدادها برای آزمایش راه اندازی راکتور



شکل ۴- نمودار حالت پرای کلاس صفحه کنترل



## شکل ۲ - دنبال کردن مسیر رویدادها برای آزمایش کالیبراسیون گرمایی

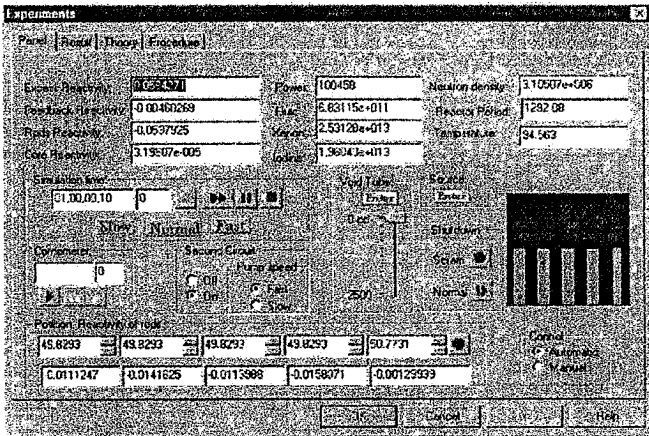
#### ۴- امکانات کلی برنامه

پس از ورود به سیستم، با انتخاب دکمه آزمایشها، فهرستی از آزمایشها در برابر کاربر قرار می‌گیرد. با انتخاب هر آزمایش، کاربر وارد محیط آزمایشگاه می‌شود و همزمان امکان دسترسی به مبانی نظری و راهنماییهای مربوط به انجام هر آزمایش در اختیار وی قرار می‌گیرد. محیط آزمایشگاه دارای ۴ صفحهٔ مجاز است که عبارت‌اند از صفحهٔ کنترل راکتور، صفحهٔ نتایج آزمایشها، صفحهٔ مبانی نظری آزمایشها و صفحهٔ روش انجام آزمایشها، که هر کدام با انتخاب دکمهٔ کنترلی، مربوطهٔ فعل می‌شوند.

آماده می‌کنیم. همچنین در این مرحله لازم است ایجاد ارتباط بین کلاسها نیز در نظر گرفته شود. به این ترتیب که اشیایی که احتیاج دارند، به داده‌های هم دسترسی داشته باشند، از توانایی رجوع به یکدیگر برخوردار باشند.<sup>[۱۸] و [۱۰]</sup>

اکنون همه چیز برای تبدیل مدل‌های ارائه شده به برنامه رایانه‌ای آماده است. کامپایلر انتخاب شده برای سیستم آزمایشگاه راکتور، ویژوال  $C^{++}$  و سیستم عامل ویندوز ۹۵ است که مفاهیم شی‌گرایی را به خوبی پشتیبانی می‌کنند و ابزارهای قوی و نسبتاً پیچیده برای ساختن کاربری‌های ۳۲ بیتی با امکانات کاربری آسان در اختیار قرار می‌دهند [۲۱ و ۲۲].

#### ۱-۴- صفحه کنترل



شکل ۵- صفحه انجام آزمایشها

به صورت نموداری مشاهده کند. در این صفحه همچنین امکاناتی برای رسم نمودارهای دلخواه توسط کاربر وجود دارد. منحنیهای توان، راکتیویته، غلظت نیاهسته‌ها، غلظت سموم، موقعیت میله‌های کنترل و ارزش راکتیویته مربوطه، پریود پایدار از جمله منحنیهایی اند که کاربر می‌تواند ملاحظه کند، شکل (۶).

#### ۴-۳- صفحه مبانی نظری و روش انجام آزمایش

در این صفحات بسته به آزمایش انتخاب شده، مبانی نظری و یا روش انجام آزمایش مربوطه در اختیار کاربر قرار گیرد و کاربر می‌تواند در طول آزمایش به منظور آگاهی بیشتر از زمینه علمی آزمایش و یا استفاده از دستورالعملهای یاری دهنده آزمایشگر به این صفحات رجوع کند، شکل (۷).

#### ۵- بحث و بررسی نتایج چند آزمایش نمونه

به منظور بررسی کارایی سیستم و دیدن نتایج و اطلاعات نموداری، با انجام چند آزمایش نمونه به بحث و بررسی پیرامون نتایج آنها می‌پردازیم.

شکل‌های (۸) و (۹) منحنیهای قدرت و راکتیویته در یک آزمایش راهاندازی راکتور در قدرت W 100 و افزایش قدرت به ۱۰ kW و 100 kW را نشان می‌دهند. پس از رسیدن به قدرت مطلوب، با برگرداندن میله‌های کنترل به محل قبلی، راکتور در قدرت جدید بحرانی می‌شود. با افزایش قدرت، دما نیز بالا می‌رود و به این ترتیب اثرات مربوط به پس خور نیز ظاهر می‌شود. لذا همراه با

شکل (۵) این صفحه را نمایش می‌دهد. در این قسمت، کاربر می‌تواند به انجام آزمایشهای مورد نظر پیرازد و از قابلیتهای سیستم برای دیدن و کنترل پارامترهای راکتور استفاده کند.

امکانات موجود در این صفحه طوری تعییه شده است که کاربر بتواند تمام آزمایشهای حالت بحرانی را در این صفحه انجام دهد. صفحه دیگری نیز برای آزمایشهای زیر بحرانی در نظر گرفته شده است که در جای خود بحث خواهد شد.

در این صفحه کاربر قادر به دیدن مقادیر لحظه‌ای پارامترهای مهم قلب مانند راکتیویته (پس خور و ناشی از میله‌های کنترل، کلی قلب) قدرت، شارنوترونها، چگالی نوترونها، غلظت زینان وید، پریود پایدار و دمای قلب راکتور است. همچنین درصد خروج میله‌های کنترل از قلب به همراه نمایی از حرکت آنها در قلب در این صفحه قابل رویت خواهد بود.

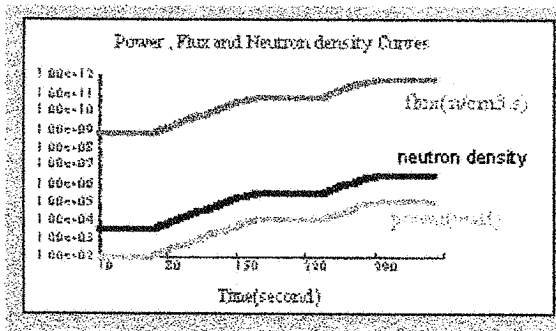
دکمه‌های کنترلی موجود در این صفحه، امکان انتخاب نحوه کنترل به صورت دستی یا اتوماتیک، تغییر وضعیت مدار شانویه سیکل ترمودینامیکی و تنظیم دبی خنک کننده و همچنین کنترل میله‌های کنترل و ورود و خروج چشمۀ نوترونی و همچنین ورود و خروج لوله گاز به قلب را برای کاربر فراهم می‌سازد.

نمایش زمان شبیه سازی و کنترل آن (راهاندازی، جلوبری، توقف، تندر کردن و کند کردن) نیز در این صفحه وجود دارد. پارامترهای مختلف قلب در تمام طول عمر راکتور با پریود دلخواهی که کاربر به سیستم می‌دهد در فایل داده ثبت و همچنین در صفحۀ کنترل نمایش داده می‌شوند.

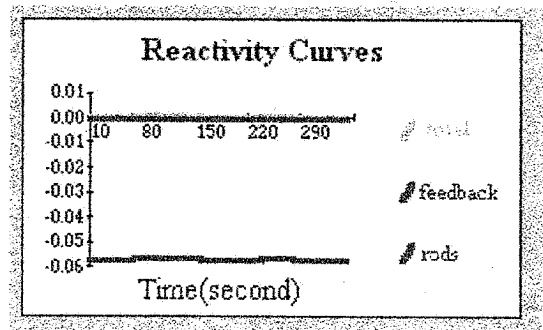
برای آزمایش جرم بحرانی صفحه کنترل جداگانه‌ای در نظر گرفته شده است. در این صفحه برای کاربر امکان وارد کردن و خارج کردن سوخت از قلب تعییه شده است و پارامترهای مختلف زیر بحرانی در این صفحه نمایش داده می‌شوند.

#### ۴-۲- صفحه نتایج آزمایش

در این صفحه امکان نمایش پارامترهای ثبت شده در فایل داده آزمایش و منحنیهای مربوطه وجود دارد. کاربر پس از ورود به این صفحه قادر خواهد بود در فهرستی که از داده‌های آزمایش در برابر او قرار می‌گیرد جستجو کند و یا با انتخاب منحنیهای موجود، داده‌ها را



شکل ۸- منحنیهای تغییرات توان، شار و چگالی نوترون بر حسب زمان در آزمایش به قدرت رساندن راکتور

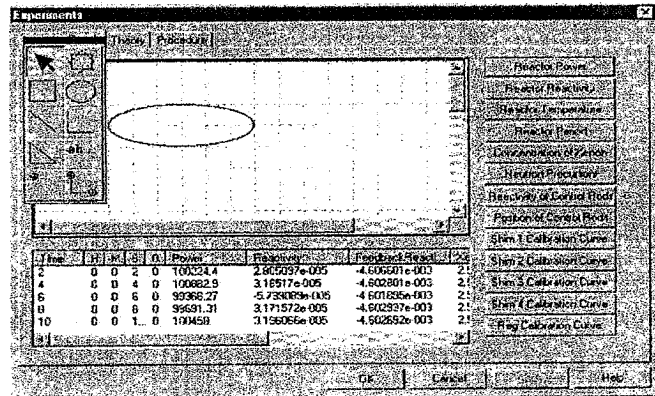


شکل ۹- منحنی تغییرات راکتیویته بر حسب زمان در آزمایش به قدرت رساندن راکتور

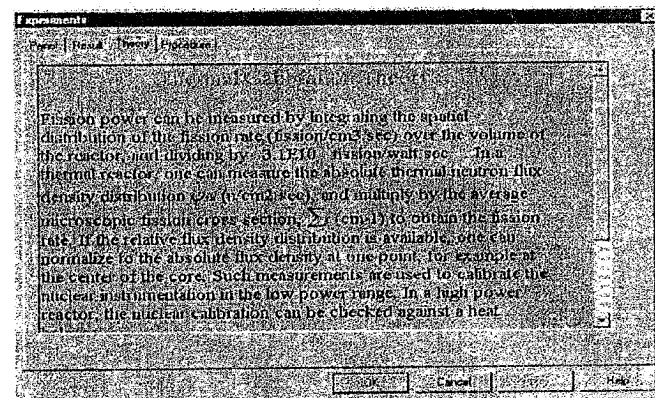
زمان تحت شرایط خاموش کردن پمپ مدار ثانویه نمایش می‌دهد. ملاحظه می‌شود که در صورت عدم برداشت گرمایی از قلب راکتور، دمای متوسط قلب زیاد می‌شود. با به دست آوردن شبیه این منحنی می‌توان قدرت گرمایی راکتور را با استفاده از فرمول  $P = mc \frac{dT}{dt}$  محاسبه کرد.

شکل (۱۳) منحنی مربوط به یک نمونه آزمایش کالیبراسیون میله کنترل یک رانمایش می‌دهد. در این آزمایش، راکتور در قدرت W 100 توسط میله‌های دو، سه و چهار بحرانی شده است و میله کنترل شماره یک، مرحله به مرحله از موقعیت ده درصد خارج از قلب به موقعیت نود درصد خارج از قلب رسیده است، در هر مرحله با اندازه‌گیری زمان دو برابر شدن قدرت (t)، پریود پایدار راکتور (T) با استفاده از فرمول  $P_o = Pe^{-t/T}$  محاسبه شده و سپس با استفاده از معادله In-hour راکتیویته متناظر با درصد خروج میله از قلب محاسبه شده است.

شکل (۱۴) نتیجه آزمایش جرم بحرانی را نشان می‌دهد. همان



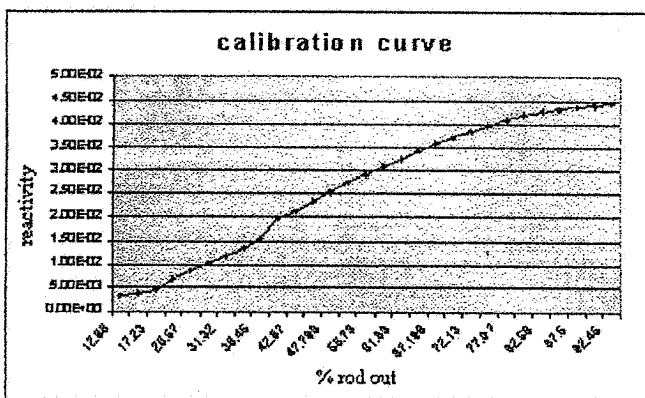
شکل ۶- صفحه نتایج آزمایشها



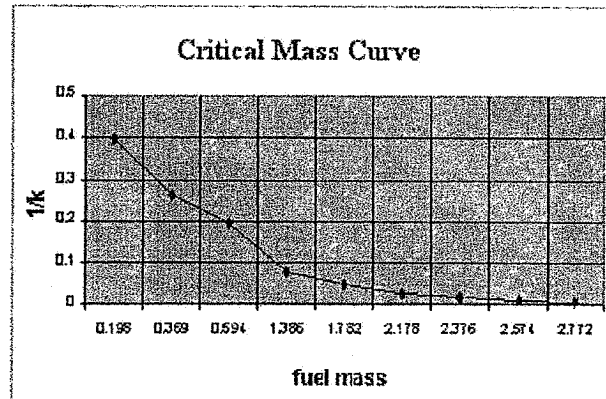
شکل ۷- صفحه نظری آزمایشها

ظهور پس خور، میله‌های کنترل نیز بالاتر می‌روند. شکلهای (۱۰) و (۱۱) منحنیهای غلظت یدوزینان و راکتیویته را در یک آزمایش در طی ۵ روز کار راکتور را نشان می‌دهند. در طول این مدت، راکتور در قدرت W 100 راه اندازی شده و سپس قدرت به ۲ مگاوات افزایش یافته و پس از دو روز که زینان به مقدار اشباع خود رسیده است، راکتور خاموش شده است. همان طور که ملاحظه می‌شود، به علت افزایش زینان در طی زمان کار راکتور، راکتیویته منفی مربوط به زینان نیز افزایش می‌یابد و پس از آنکه زینان به مقدار پایدار خود رسید، راکتیویته پس خور ثابت می‌ماند. پس از خاموشی راکتور، غلظت زینان مجددآ شروع به افزایش می‌کند و پس از حدود hr 10 به مقدار بیشینه خود می‌رسد و از آن به بعد شروع به کاهش می‌کند. در دوره خاموشی نیز راکتیویته منفی مربوط به زینان همراه با افزایش زینان، افزایش می‌یابد و همراه با کاهش زینان، کاهش می‌یابد.

منحنی (۱۲) تغییرات دمای متوسط قلب راکتور را بر حسب



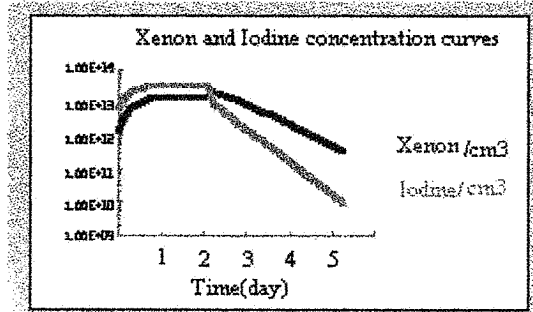
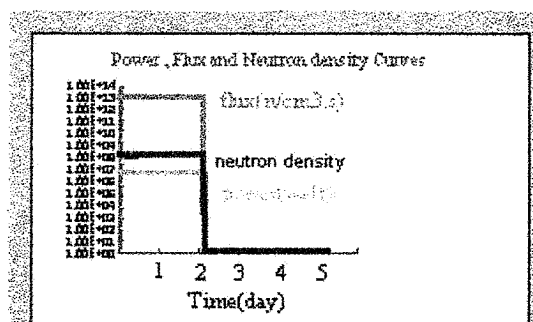
شکل ۱۳- منحنی ارزش راکتیویته میله کنترل در آزمایش  
کالیبراسیون میله کنترل



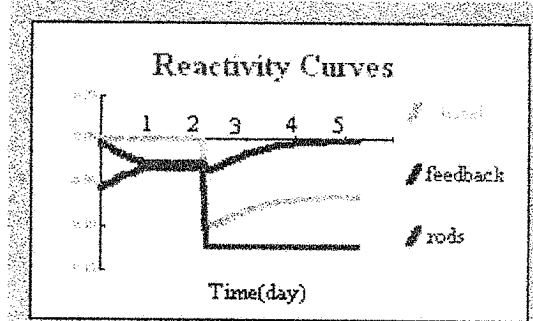
شکل ۱۴- منحنی تغییرات ضریب تکثیر بینهایت بر حسب  
جرم سوخت در آزمایش جرم بحرانی

طور که ملاحظه می شود با افزودن سوخت به قلب، حجم قلب بزرگتر شده و بنابراین احتمال عدم فرار نوترون از قلب، افزایش  $k_{\text{eff}} = k_{\infty} P_{\text{nonleakage}}$  یافته و در مجموع با توجه به فرمول  $k_{\text{eff}}$  بزرگتر شده است (با توجه به اندازه  $K_{\text{eff}}$  بزرگتر شده است) اینکه ترکیب سوخت و کند کننده فرقی نکرده، بنابراین  $K$  ثابت می ماند) و در نتیجه راکتور به حالت بحرانی تزدیک شده است. با نزدیک شدن مقدار  $K_{\text{eff}}$  به یک، عکس شمارش نوترونها به صفر نزدیک می شود. هنگامی که این مقدار صفر شود، جرم سوخت موجود در قلب، جرم بحرانی خواهد بود.

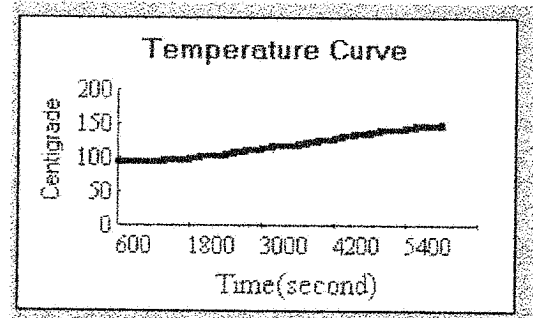
شکل های (۱۵) و (۱۶) راکتیویته و موقعیت میله های کنترل در آزمایش راکتیویته ناشی از خلاء را نشان می دهند. در این آزمایش پس از اینکه راکتور به حالت پایدار خود رسید، ابتدا Void Tube را



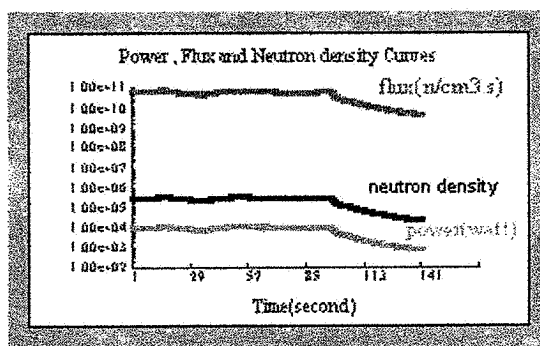
شکل ۱۰- منحنی تغییرات توان، شار و چگالی نوترون و  
چگالی ید و زینان بر حسب زمان در آزمایش اثر زینان



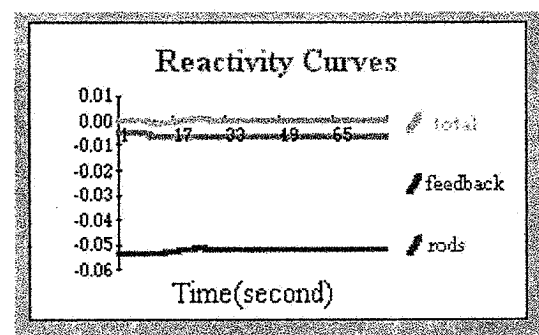
شکل ۱۱- منحنی تغییرات راکتیویته  
بر حسب زمان در آزمایش اثر زینان



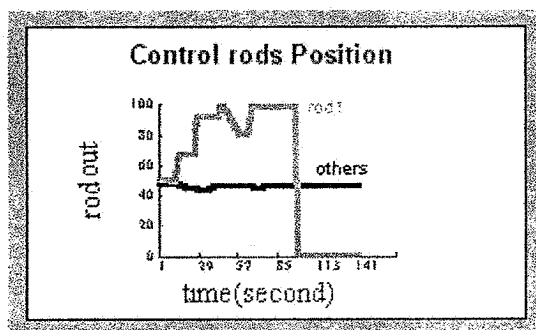
شکل ۱۲- منحنی تغییرات دما بر حسب زمان  
در آزمایش کالیبراسیون گرمایی



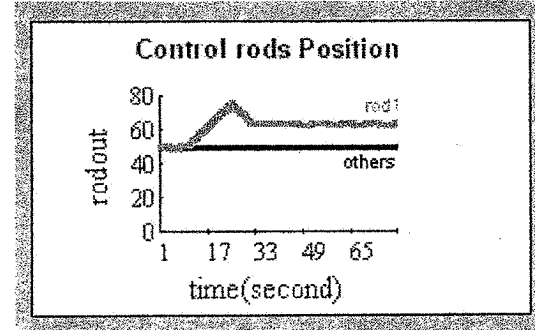
شکل ۱۷- منحنی تغییرات توان، شار و چگالی نوترون  
بر حسب زمان در آزمایش سقوط میله کنترل ظریف



شکل ۱۵- منحنی تغییرات راکتیویته بر حسب زمان در آزمایش  
اثر خلا



شکل ۱۸- منحنی تغییر موقعیت میله کنترل بر حسب زمان  
در آزمایش سقوط میله کنترل ظریف



شکل ۱۶- منحنی تغییر موقعیت میله کنترل بر حسب زمان  
در آزمایش اثر خلا

راکتیویته منفی به قلب، قدرت با یک جهش آتی، کم شده است.

#### قدردانی

بدین وسیله از زحمات مسئولین و گروه کارگردانی راکتور سازمان انرژی اتمی ایران که امکان بازدید از راکتور و سیستمهای جنبی آن را فراهم کردند تشکر و قدردانی می شود.

وارد قلب کرده و سپس داخل آن را از گاز پر می کنیم. ملاحظه می شود که برای جبران راکتیویته ناشی از خلاء، میله های کنترل کمی بالا آمده اند.

شکل های (۱۷) و (۱۸) قدرت و موقعیت میله های کنترل را در آزمایش سقوط میله ظریف نشان می دهند. در این آزمایش ابتدا میله ظریف صد درصد از قلب خارج شده و راکتور توسعه بقیه میله ها بحرانی شده است سپس میله ظریف را سقوط داده ایم. در اثر تزریق

#### واژه نامه

- |                              |                |                   |
|------------------------------|----------------|-------------------|
| 1. object modeling technique | 5. class       | 9. object diagram |
| 2. object model              | 6. association | 10. state diagram |
| 3. dynamic model             | 7. attributes  | 11. states        |
| 4. functional model          | 8. links       |                   |

#### مراجع

1. Profio, A. Edward, *Experimental Reactor Physics*, Wiley, New York, London, 1976.
2. Khadem, M., and Ipackchi, A. "A Compact,
- High-Fidelity Simulator for Power Plants," *Mechanical Engineering*, pp. 58-61, Aug. 1988.
3. Hetrick, *Dynamics of Nuclear Reactors*, University of

- Chicago Press, Chicago, 1971.
4. Lewins, J., *Nuclear Reactor Kinetics and Control*, Pergamon Press, Oxford, New York, 1978.
  5. Glasstone, Sesonske, *Nuclear Reactor Engineering*, Van Nostrand Reinghold, New York, 1981.
  6. Hill, D., *Object Oriented Analysis and Simulation*, Addison Wesley, New York, 1996.
  7. Banks, J., *Discrete Event System Simulation*, Prentice Hall, New Jersey.
  8. Radding, A., "To Methodology or Not to Methodology," *Computer World*, Vol. 27, No. 24, pp. 114, Jun. 14, 1993.
  9. Mayer, B., *Reusable Software*, Hemel Hempstead, Prentice Hall, 1994.
  10. Rumbogh, *Object Oriented Modeling and Design*.
  11. Ambler, S., "Booch-Rumbaugh Tryst Could Accelerate OO," *Computing-Canada*, Vol. 20, No. 24, p. 33, Nov. 23, 1994.
  12. Hayes, F., "Object? Simplicity," *Computer world*, Vol. 29, No. 41, p. 97, Oct. 9, 1995.
  13. Decker, R., and Hirshfield, S., *The Object Concept*, Boston, PWS publication Company, 1995.
  14. Elins, A., *Principles of Object Oriented Software Development*, 1995.
  15. Livari J., "Object Orientation as Structural, Functional and Behavioral Model," *Information and Software Technology*, Vol. 37, No. 3, pp. 155-160. Mar. 1995.
  16. Waiden, K., and Nerson, J. M., *Seamless Object Oriented Software Architecture*, Prentice-Hall, New York, 1995.
  17. Brown, D., *An Introduction to Object Oriented Analysis*, Wiley, New York, 1997.
  18. Mark, P., *Practical Object Oriented Design*, MC Graw Hill, London, 1996.
  19. Bourdeau, R. H., and Cheng, B. H. C., "A Formal Semantics for Object Model Diagrams," *IEEE Transactions on software engineering*, Oct. 1995.
  20. Holland Ian, M., and Lieberherr, K. J., "Object Oriented Design," *ACM Computing-Surveys*, Vol. 28, No. 1, pp. 273-275, Mar. 1996.
  21. Gregory Kate, "Using Visual C++," *Que, Indianapolis*, 1996.
  22. Nabajyoti, B., *Visual C++ Developers Guide*, Sams Publication Indianapolis, 1995.

**پیوست ۱- توابع مشخص کننده خروجیها بر حسب ورودیها در مدل وظیفه مندی**

$$\rho_f = \alpha_T T + \alpha_V V + \frac{\delta_a^X X}{\sum_a} \quad - \text{محاسبه راکتیویته پس خور}$$

$$\rho_{rods} = \rho_{max} \left( x - \frac{1}{2\pi} \sin 2\pi x \right) \quad - \text{محاسبه راکتیویته میله های کنترل}$$

$$\rho_{core} = \rho_{excess} + \rho_{rods} + \rho_f \quad - \text{محاسبه راکتیویته قلب}$$

$$\frac{dp}{dt} = \frac{\rho - \beta}{I} P + \sum_i \lambda_i C_i \quad - \text{محاسبه قدرت راکتور}$$

$$\frac{dI_i}{dt} = \frac{\beta_i}{I} P - \lambda_i C_i$$

$$\frac{dT}{dt} = \frac{1}{mc} P - \frac{2w}{m} T \quad - \text{محاسبه دمای قلب}$$

$$\frac{dI}{dt} = \gamma_I \sum_f \phi - \lambda_I I \quad - \text{محاسبه غلظت زینان وید}$$

$$\frac{dx}{dt} = \gamma_x \sum_f \phi + \lambda_I I - \delta_a^X X \phi - \lambda_X X$$

$$\phi = \frac{P}{P_{max}} \phi_{max} \quad - \text{محاسبه شارنوترون}$$

$$\omega = \frac{1}{P} \frac{dP}{dt} \quad - \text{محاسبه پریود پایدار}$$

$$M_{total} = n m_{assembly} \quad - \text{محاسبه جرم سوخت}$$

## پیوست ۲- فهرست عملگرهاي کلاسهاي مختلف سистем راکتور

- عملگرهاي کلاس ساعت
- نشان دادن زمان
- تنظيم ساعت
- جلو بردن ساعت
- محاسبه ثانيهها
- عملگرهاي کلاس کرنومتر
- محاسبه زمان
- راه اندازی کرنومتر
- عملگرهاي کلاس صفحه کنترل
- تنظيم مقادير اوليه صفحه کنترل
- راه اندازی راکتور
- توقف کار راکتور
- نگهداري زمان کار راکتور
- جلوبرى زمان کار راکتور
- خاموش سازی راکتور
- خاموش سازی آئی راکتور
- راه اندازی زمان کار راکتور
- نوشتن پارامترهاي راکتور در پرونده داده
- کنترل حرکت ميله های کنترل
- حرکت ميله کنترل
- کنترل دستی راکتور
- کنترل اتوماتیک راکتور
- نمایش پارامترهاي قلب در صفحه کنترل
- تنظيم راکتيويته قلب
- راه اندازی دستی راکتور
- وارد کردن چشميه به قلب
- جلوبرى زمان سنج
- توقف زمان سنج
- راه اندازی مدار ثانويه
- توقف مدار ثانويه
- عملگرهاي کلاس ميله کنترل
- محاسبه ارزش راکتيويته ميله کنترل
- حرکت ميله کنترل
- محاسبه درصد خروج ميله کنترل
- عملگرهاي کلاس ميله سوخت
- وارد شدن به قلب
- خارج شدن از قلب
- عملگرهاي کلاس قلب
- محاسبه راکتيويته قلب
- محاسبه توان
- محاسبه شار
- محاسبه چگالي نوترون
- محاسبه دماي متوسط قلب
- محاسبه غلظت يد
- محاسبه غلظت زينان
- محاسبه غلظت پاره های شکافت
- راه اندازی مدار ثانويه
- محاسبه راکتيويته پس خوراند
- محاسبه پريود پايدار
- محاسبه ضربت تکثیر
- حل معادله های نقطه ای
- محاسبه راکتيويته پس خوراند زينان
- محاسبه راکتيويته پس خوراند دما
- محاسبه راکتيويته ميله های کنترل
- محاسبه پارامترهاي حالت پايدار
- قلب
- محاسبه پارامترهاي حالت گذري
- قلب
- عملگرهاي کلاس محصولات شکافت
- محاسبه غلظت
- عملگرهاي کلاس خنك کننده
- عوض کردن حالت مدار ثانويه